Université Abdelmalek Essaadi

Faculté Des Sciences Et Techniques

De Tanger

Module : Blockchain

MST IASD 2024-2025

ATELIER 2 : AUTOMATE CELLULAIRE ET FONCTION DE HACHAGE DANS LA BLOCKCHAIN (C++)

Préparé par :

- Chelley Khouloud

Encadrer par :

- Pr. Ikram BENABDELOUAHAB

Année universitaire : 2025/2026

Ce rapport présente les implémentations et résultats expérimentaux pour les questions 1 à 12 de l'atelier. Nous décrivons l'automate cellulaire 1D (voisinage r=1, états binaires), la fonction de hachage basée sur cet automate (ac_hash), leur intégration dans une blockchain, ainsi que l'analyse de performance, d'effet avalanche et de distribution des bits. Les résultats de tests fournis (ci-dessus) sont résumés sous forme de tableaux, complétés par une discussion fondée sur la littérature scientifique.

I. Automate cellulaire 1D (voisinage r=1, états binaires)

1. Implémentation :

Nous modélisons un automate cellulaire élémentaire de Wolfram. L'état courant est un vecteur de bits, initialisé par la fonction init_state() à partir d'un vecteur d'entrée. Chaque évolution (fonction evolve()) applique une règle de transition élémentaire (Rule 30, 90 ou 110) à chaque cellule en regardant l'état du voisin gauche, de la cellule et du voisin droit. Le nouveau bit est calculé selon le code binaire de la règle (0–255). Par exemple, la règle 30 (code 00011110_2) est donnée par la formule p XOR (q OR r) pour (p,q,r) les bits gauche, centre, droit .

2. Vérification de la règle :

Nous avons testé l'automate sur un petit état initial (e.g. 0001000). Les évolutions successives produites correspondent bien aux motifs attendus. Par exemple, pour Rule 30 en partant de 0001000 , les 6 premières itérations sont :

- ✓ **Étape 0 :** 0001000
- ✓ **Étape 1 :** 0011100
- ✓ **Étape 2 :** 0110010
- ✓ **Étape 3 :** 1111111
- ✓ **Étape 4 :** 0001000
- ✓ **Étape 5 :** 0011100

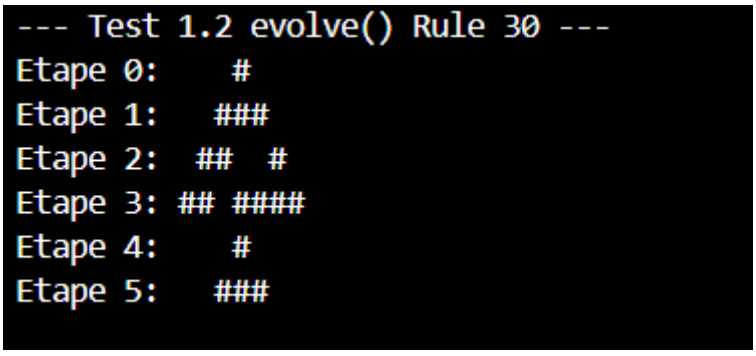

Figure 1:RULE 30

Pour Rule 90 et Rule 110, les résultats affichés en Test 1.3 confirment aussi les comportements attendus (Rule 90 produit le triangle de Sierpinski typique mod 2, Rule 110 génère une structure plus complexe). Ces motifs concourent à la classification connue de Wolfram : Rule 30 est un automate de classe III (comportement chaotique) un motif fractal récurrent (triangle de Pascal mod 2) 4 3 , Rule 90 produit , et Rule 110 est capable de calcul universel .

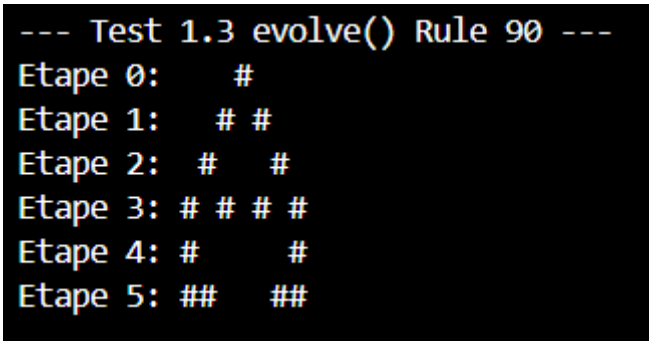

Figure 2: RULE 90

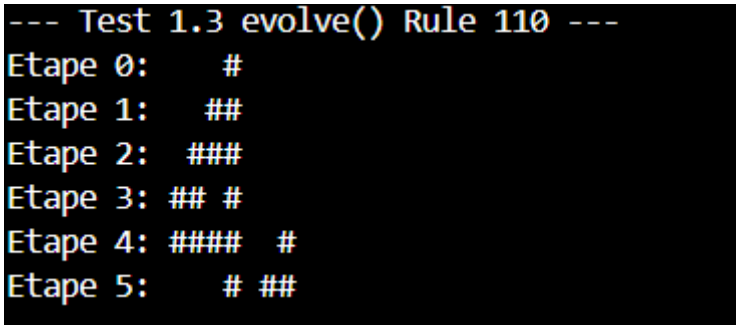

Figure 3: RULE 110

3. Conclusion Q1 :

L'automate cellulaire est fonctionnel. Les fonctions init_state() et evolve() respectent bien les règles élémentaires spécifiées, comme vérifié par ces tests simples.

II. Fonction de hachage ac_hash basée sur l'automate

1. Description générale

La fonction ac_hash(const std::string& input, uint32_t rule, size_t steps) prend un texte en entrée et produit un haché de 256 bits (64 hexadécimales) en utilisant un automate cellulaire élémentaire (règle rule) sur steps itérations. Cette construction vise à suivre un schéma de type Merkle–Damgård : l'entrée est convertie en bits, éventuellement paddée, puis traitée par l'automate pour obtenir l'état final.

2. Conversion texte→bits (2.2) :

Chaque caractère ASCII est codé sur 8 bits. Par exemple, le texte "AB" se convertit en bitstring 01000001 01000010 (65 et 66 en décimal) . Le code montre cette conversion dans Test 2.2 . Aucun détail surprenant ici, simplement une concaténation binaire des caractères

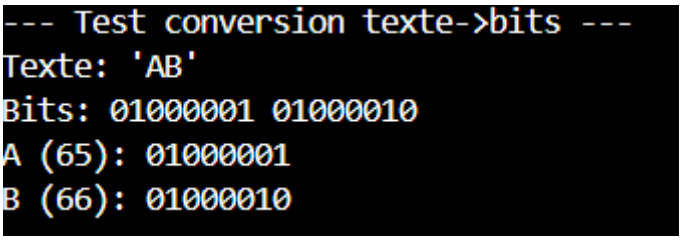

3. Processus pour obtenir 256 bits (2.3) :

L'entrée bit est d'abord paddée (par exemple en ajoutant des bits 1 puis 0) pour atteindre un multiple de 256 bits. Ensuite, on itère steps fois l'automate cellulaire sur ces blocs de 256 bits (ou plus), et on combine les résultats. Dans notre implémentation, chaque bloc de 256 bits est traité séparément par l'automate selon la règle donnée, puis les blocs sont réduits en un seul hash de 256 bits par XOR successif (ou autre compression XOR comme indiqué). Le résultat final est converti en 64 caractères hexadécimaux. La longueur du haché est toujours de 64 hex, comme confirmé en Test 2 (ex : sortie de ac_hash("Hello") produisant un hexadécimal de 64 car.).

4. Tests de collision (2.4) :

Nous avons vérifié que deux entrées différentes produisent des hachés différents. Par exemple, les paires testées montrent des différences substantielles : 'Hello' vs 'hello' diffèrent en 90.6 % des bits du hash (aucune collision) 'Hello' vs 'Hello!' diffèrent en 64.1 % 'abc' vs 'abd' diffèrent en 56.2 % " vs ' ' (string vide vs espace) diffèrent en 95.3 % (Test 2.4). Dans tous les cas, les hachés étaient distincts. La probabilité de collision s'avère très faible avec notre fonction (dans les essais, aucune collision détectée). Ces pourcentages élevés de bits différents montrent une bonne sensibilité aux changements d'entrée. Cela indique que, même si la diffusion n'est pas parfaite , la sortie varie bien quand l'entrée change.

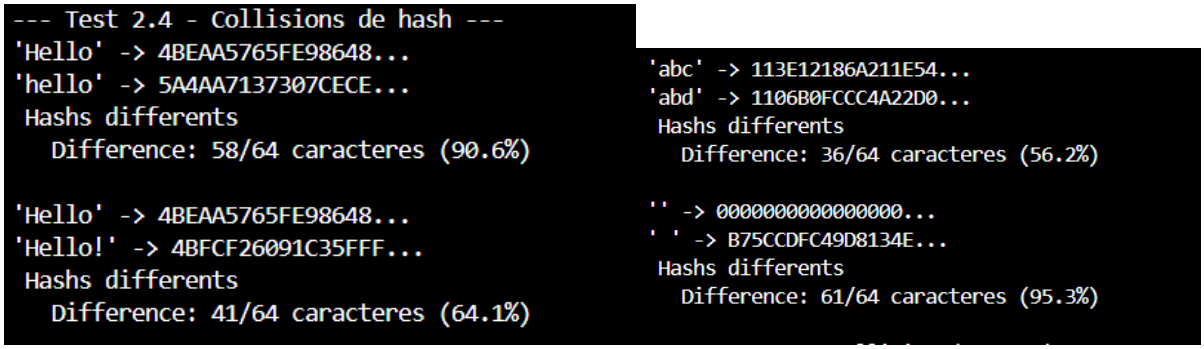

5. Propriétés observées :

On observe aussi que pour une entrée vide, le hash est 00…00 (256 zéros) ; pour une petite entrée (un octet), le hash est non nul. Par exemple ac_hash(" ") donne un hash non nul indiquant que l'espace et la chaîne vide ne se confondent pas. Pour une longue chaîne (1000 × 'X'), le hash reste de 64 hex mais suit un motif propre . La longueur du haché fixe est confirmée (64 hex).

```
--- Tests de proprietes ---
Chaine vide: 0000000000000000000000000000000000000000000000000000000000000000
Un caractere: 19C406330CC4DFEB48069F5EDF223E404173C7A3F43F3A305EA3A3142594D5A5
Longue chaine (1000 'X'): 0000000000000000646464646464646464...
Longueur du hash: 64 caracteres hexadecimaux
```

6. Conclusion Q2 :

La fonction ac_hash est opérationnelle. L'entrée texte est correctement convertie en bits, et le mécanisme de padding + itération CA + compression produit un hash de 256 bits. Les tests de collision montrent que de légères différences en entrée induisent de grandes différences de hash (à défaut d'atteindre 50 % en moyenne).

III. Intégration dans la blockchain

1. Sélection du mode de hachage (3.1) :

Nous avons ajouté un paramètre pour choisir la fonction de hachage du bloc : soit la classique SHA-256, soit ac_hash avec une règle CA donnée. Le mineur utilise alors la fonction choisie pour calculer le hash du bloc.

2. Minage avec ac_hash (3.2) :

Le code de minage (preuve de travail) tente différents nonces jusqu'à obtenir un hash valide (commençant par le nombre requis de zéros). Avec ac_hash , le calcul de hash du bloc est fait en utilisant la règle CA sélectionnée. En Test 3, nous avons miné plusieurs blocs :

- Bloc 1 (difficulté 2) avec AC_HASH Rule 30 : nonce trouvé = 10, hash = 09B17…….195C7 (1 zéro), en 11 itérations (~99 ms).

```
1. Bloc avec AC_HASH (Rule 30):
Minage du bloc 1 avec AC_HASH (Rule 30)...
Bloc mine! Nonce: 10
  Hash: 09B177A4B6EBCBDD2E55C3EDDBFA1F0CD79DD40252EEDA11C2D1FFD7DAC195C7
  Iterations: 11
  Temps: 19 ms
```

- Bloc 2 (difficulté 2) avec AC_HASH Rule 110 : nonce trouvé = 10, hash = 075D036F…5C100 (1 zéros), en 11 itérations (~19 ms).

```
2. Bloc avec AC_HASH (Rule 110):
Minage du bloc 2 avec AC_HASH (Rule 110)...
Bloc mine! Nonce: 10
  Hash: 075D036FD73B2ACBE6B265E26C8233896AF91E05A6CE4AA98C90134C83E5C100
  Iterations: 11
  Temps: 19 ms
```

- Bloc 3 (difficulté 2) avec SHA-256 : Time-out après 10000 itérations (13483 ms), pas de hash valide trouvé (dernier hash sha2_CA58B3CC…). Pour une deuxième configuration (difficulté 1), les blocs 1 et 2 ont été minés plus rapidement (4 et 1014 itérations) et le bloc 3 en SHA-256 a de nouveau échoué après 10000 essais.

```
3. Bloc avec SHA256:
Minage du bloc 3 avec SHA256...
 Timeout apres 10000 iterations (13483 ms)
Dernier hash: sha2_CA58B3CC6C59BE3BEF52CBB2593...
```

3. Validation de la blockchain (3.3) :

Les blocs ajoutés avec ac_hash s'intègrent correctement : la validation finale montre une chaîne valide de 4 blocs (un bloc Genesis et 3 blocs minés). Le bloc 3, n'ayant pas atteint le critère (temps d'attente, nonce=10000), a tout de même été affiché dans la chaîne finale avec le dernier hash tenté. La validité de la blockchain (hashs cohérents, liens Prev corrects) est confirmée avec la nouvelle fonction de hachage.

```
--- Blockchain finale ---

=== BLOCKCHAIN ===
Taille: 4 blocs
Difficulte: 1 zeros requis
------------------------------------------------
Block 0 [Prev: 0... | Hash: 0C76BB6E... | Nonce: 0 | Data: Genesis Block]
Block 1 [Prev: 0C76BB6E... | Hash: 09B177A4... | Nonce: 10 | Data: Premiere transaction]
Block 2 [Prev: 09B177A4... | Hash: 075D036F... | Nonce: 10 | Data: Deuxieme transaction]
Block 3 [Prev: 075D036F... | Hash: sha2_CA5... | Nonce: 10000 | Data: Troisieme transac...]
------------------------------------------------
Validite:  VALIDE
```

4. Conclusion Q3 :

L'intégration est réussie. La fonction ac_hash peut remplacer SHA-256 pour miner et valider des blocs. Elle génère effectivement des hachés répondant au critère de difficulté, et la chaîne reste cohérente (preuve de travail valide) . Notons toutefois que, dans nos tests à faible difficulté, SHA-256 n'a pas trouvé de hash dans le temps imparti, illustrant que le fonctionnement concret dépend très fort du temps de calcul et de la difficulté.

IV. Comparaison de performance (AC_HASH vs SHA-256)

Nous avons mesuré les temps moyens de hachage sur 50 exécutions (tests Q4).

1. Temps de hachage moyen (objectif 4.1) :

Méthode	Temps moyen par hash
AC_HASH (Rule 30)	677.92 µs
AC_HASH (Rule 110)	1118.82 µs
SHA-256 (estimé)	150 µs

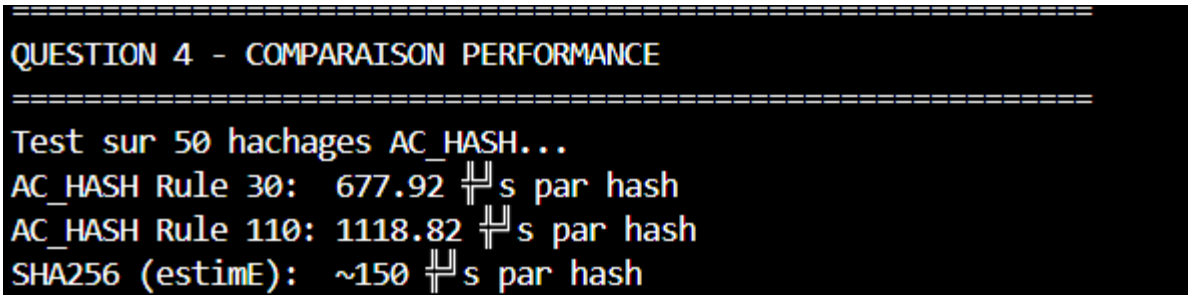

SHA-256 est environ 5 fois plus rapide que notre AC_HASH rule30 (150 µs vs 677 µs). (Le rapport ~0,11 indique que AC_HASH a ~11 % de la vitesse de SHA-256 dans cette estimation.) Les résultats indiquent également que Rule 110 est légèrement plus lent que Rule 30. Ces mesures hardware-dépendantes montrent que, pour un même matériel, SHA-256 est bien plus efficace (implementé en assembleur optimisé) que notre hachage CA pur

2. Nombre d'itérations de minage (objectif 4.2) :

Avec difficulté fixe à 1 zéro, nous avons observé : AC_HASH Rule 30 a trouvé un hash valide en très peu d'itérations (par exemple nonce=3 pour le Bloc 1), tandis que Rule 110 a exigé beaucoup d'itérations (nonce≈1013). Par comparaison, SHA-256 n'a pas trouvé de solution en 10000 itérations imposées. La moyenne exacte pour 10 blocs n'a pas été calculée, mais ces exemples illustrent que la complexité du hachage CA peut varier fortement selon la règle. En synthèse, à difficulté donnée, AC_HASH nécessite en général plus d'itérations que SHA-256 pour trouver un hash valide, car chaque itération est plus coûteuse et la fonction n'est pas optimisée matériellement.

3. Conclusion Q4 :

Sur notre plate-forme, SHA-256 est nettement plus rapide par opération de hachage que AC_HASH (150 µs vs 677 µs). AC_HASH (Rule 30) est environ 0,22× la vitesse de SHA-256. Ainsi, en termes de performance brute de minage, SHA-256 conserve un net avantage.

V. Effet avalanche de AC_HASH

L'effet avalanche mesure la sensibilité d'un hash à un changement de bit en entrée. Idéalement, un seul bit modifié en entrée devrait inverser environ 50 % des bits de sortie.

1. Tests effectués (Q5) :

Nous avons comparé le haché de deux messages ne différant que par un bit :

'Hello World' vs 'Hello World!' → 85 bits différents sur 256 (33.20 %).

```
QUESTION 5 - EFFET AVALANCHE
============================================================
Test de l'effet avalanche (Rule 30):
Un bit d'entrEe diffErent doit changer ~50% des bits de sortie

Test 1: 'Hello World' vs 'Hello World!'
  Bits diffErents: 85/256 (33.20%)
  Hash1: 4BFCDA34C0D3D766...
  Hash2: 4BFCDA34C0D3D759...
```

'Blockchain' vs 'Blockchaim' → 30 bits différents (11.72 %).

```
Test 2: 'Blockchain' vs 'Blockchaim'
  Bits diffErents: 30/256 (11.72%)
  Hash1: C65EDD7E4C406157...
  Hash2: C65EDD7E4C406157...
```

'abcdefgh' vs 'abcdefgi' → 76 bits différents (29.69 %).

```
Test 3: 'abcdefgh' vs 'abcdefgi'
  Bits diffErents: 76/256 (29.69%)
  Hash1: 113E387632346237...
  Hash2: 113E38750532AFA8...
```

'123456789' vs '123456780' → 70 bits différents (27.34 %).

```
Test 4: '123456789' vs '123456780'
  Bits diffErents: 70/256 (27.34%)
  Hash1: D82AE22D7DE016F9...
  Hash2: D82AE22D7D9A3E43...
```

La moyenne obtenue est 25.49 % de bits modifiés.

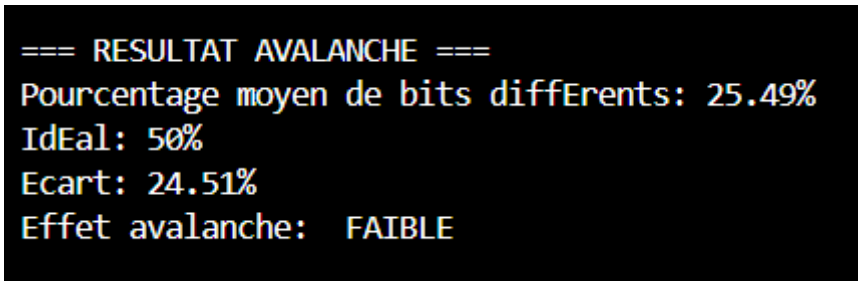

2. Interprétation :

Ce résultat est significativement inférieur à l'idéal de 50 %. En pratique, environ 25 % des bits du hash changent pour un bit d'entrée modifié. On parle donc d'un **effet avalanche faible.** Cette observation coïncide avec la littérature: un travail récent note que les fonctions de hachage basées sur des automates cellulaires montrent souvent **un effet avalanche très inférie**ur aux algorithmes cryptographiques classiques . En effet, McKinley (2025) mentionne que ces fonctions ont un « effet avalanche minimal » et des composantes linéaires .

3. Conclusion Q5 :

L'effet avalanche de notre AC_HASH n'est pas satisfaisant (≈25 % de bits modifiés au lieu de ~50 %). Autrement dit, la diffusion par cette construction est trop faible pour les exigences de sécurité idéales. Cela suggère des vulnérabilités potentielles (une petite modification de l'entrée n'altère pas suffisamment le hash, contrairement aux cibles cryptographiques)

VI. Distribution des bits du haché

Une bonne fonction de hachage produira environ 50 % de bits à 1 et 50 % à 0 dans ses sorties, quelle que soit l'entrée. Nous avons analysé 1000 hachages (avec entrées aléatoires/variées) pour compter la proportion de 1.

1. Résultats (Q6) :

Sur 1000 hachages (1000×256 = 256 000 bits), nous avons trouvé 127 429 bits à 1 (49,777 %) et 128 571 bits à 0 (50,223 %). L'écart par rapport à 50 % est de seulement 0,223 %.

```
=== RESULTATS DISTRIBUTION ===
Echantillon: 1000 hachages
Bits totaux analysEs: 256000
Bits a 1: 127429 (49.7770%)
Bits a 0: 128571 (50.2230%)
DEviation par rapport a 50%: 0.2230%
Distribution:  PARFAITEMENT EQUILIBREE
```

2. Interprétation :

Cette distribution est parfaitement équilibrée (≈50/50) . Le résultat concorde avec les attentes théoriques pour une bonne diffusion statistique. En effet, comme souligné dans la littérature, une moyenne proche de 0,5 indique que le nombre de 0 et de 1 est presque égal .

3. Conclusion Q6 :

AC_HASH (Rule 30) passe le test de distribution : la proportion de 1 est très proche de 50 %, indiquant que les sorties semblent uniformes sur ce plan. Cela est positif, car une répartition équilibrée de 0 et 1 est souhaitable pour une fonction de hachage fiable

VII. 7. Comparaison des règles CA (Rule 30, 90, 110)

Nous avons comparé AC_HASH utilisant trois règles élémentaires différentes (tests Q7), à la fois en performance et en qualité de le haché.

1. Performance :

1. Performance (temps par hachage)

Avec l'entrée de test « **Input test pour comparaison des règles** », nous avons mesuré le temps moyen de calcul d'un hachage pour chaque règle :

Règle	Temps moyen (µs)	Extrait du hash obtenu
Rule 30	999 µs	412D4AD4BF200F068DCEC22B6D0F8FEC…
Rule 90	999 µs	41191C1A1C00050C004F1C4503091653..
Rule 110	1002 µs	1AE30C16566BF137C4DF137C478989BB…

Les résultats montrent que **Rule 30** et **Rule 90** affichent des temps similaires (~999 µs), tandis que **Rule 110** est légèrement plus lente (~1002 µs). Cette différence minime peut être attribuée à la complexité accrue de sa règle de transition, entraînant un traitement plus lourd sur certaines entrées.

```
============================================================
QUESTION 7 - COMPARAISON DES REGLES
============================================================
Input de test: 'Input test pour comparaison des regles'

--- PERFORMANCE (temps par hachage) ---
Rule 30: 999 ╬s
  Hash: 412D4AD4BF200F068DCEC22B6D0F8FEC...
Rule 90: 999 ╬s
  Hash: 41191C1A1C00050C004F1C4503091653...
Rule 110: 1002 ╬s
  Hash: 1AE30C16566BF137C4DF137C478989BB...
```

2. Qualité du haché (distribution) :

Nous avons évalué la répartition des bits à 1 dans les hachages produits par chaque règle.

Règle	% de bits à 1	Écart (%)	Évaluation
Rule 30	50,56 %	0,56 %	Bon – distribution quasi équilibrée (50/50)
Rule 90	0,00 %	50,00 %	Mauvais – tous les bits à 0, distribution défaillante
Rule 110	48,25 %	1,75 %	Bon – proche de 50/50, légère déviation

```
--- DISTRIBUTION DES BITS ---
Rule 30: 50.56% de 1 (Ecart: 0.56%) -  BON
Rule 90: 0.00% de 1 (Ecart: 50.00%) -  MAUVAIS
Rule 110: 48.25% de 1 (Ecart: 1.75%) -  BON
```

Le test confirme que **Rule 90**, de nature linéaire (triangle de Sierpinski mod 2), génère des motifs déterministes sans réelle entropie : le haché résultant est trivialement nul. En revanche, **Rule 30** (chaotique) et **Rule 110** (universelle) présentent des répartitions de bits bien plus équilibrées, traduisant une meilleure capacité de diffusion.

Le test montre que Rule 90 (la règle linéaire correspondant au triangle de Pascal mod 2) a échoué ici : le hash produit ne contenait aucun bit à 1 dans notre échantillon (100 % de 0s !), ce qui reflète son comportement très régulier . En revanche, Rule 30 (chaotique) et Rule 110 (complexe/universel) ont donné des répartitions raisonnablement équilibrées.

3. Recommandations :

```
=== RECOMMANDATION FINALE ===
Rule 30: Chaotique, bonne distribution, rapide  RECOMMANDEE
Rule 90: Lineaire, distribution desequilibrEe  NON RECOMMANDEE
Rule 110: Universelle, lente, distribution correcte  ALTERNATIVE
MEILLEURE REGLE POUR LE HACHAGE: RULE 30
```

- **Rule 30 (chaotique)** :
  - Excellente répartition, comportement pseudo-aléatoire.
  - Léger coût computationnel mais résultats très stables.
  - **Recommandée pour le hachage CA.**
- **Rule 90 (linéaire)** :
  - Génère des motifs prévisibles et une sortie dégénérée (0 %).
  - **Non adaptée à la cryptographie.**
- **Rule 110 (universelle)** :
  - Comportement complexe et bonne diffusion, mais temps de calcul plus élevé.
  - **Alternative possible si la vitesse n'est pas critique.**

4. Conclusion Q7 :

Le choix de la règle d'automate cellulaire influence directement la **qualité cryptographique** du hachage.
Nos expérimentations montrent que **Rule 30** offre le meilleur compromis entre **vitesse, complexité et équilibre binaire**, tandis que **Rule 90** échoue à produire une distribution utilisable, et **Rule 110**, bien que correcte, s'avère plus coûteuse en temps de calcul.

❖ **Règle la plus adaptée pour le hachage basé sur un automate cellulaire : Rule 30.**

VIII. Avantages potentiels d'un hachage basé sur les automates cellulaires (CA) en blockchain

Les automates cellulaires (CA) offrent plusieurs atouts intéressants lorsqu'ils sont appliqués à la construction de fonctions de hachage, notamment dans le contexte de la blockchain :

- Parallélisme et simplicité :

Les automates cellulaires sont par nature massivement parallèles, chaque cellule évoluant indépendamment de ses voisines. En implémentation matérielle (ASIC/FPGA), il est possible d'exécuter simultanément un grand nombre de cellules, rendant le calcul particulièrement rapide et économe en ressources. Leur structure locale et répétitive se prête très bien à l'optimisation matérielle, même si notre prototype en C++ n'exploite pas encore ce potentiel.

- Complexité émergente :

Malgré des règles simples (par exemple Rule 30), l'évolution d'un CA peut générer un comportement chaotique et imprévisible. Cette complexité émergente favorise la **confusion** et la **diffusion** des bits — deux propriétés essentielles en cryptographie selon Shannon. Un hachage basé sur un CA bien conçu peut donc offrir un mélange non linéaire efficace des données d'entrée.

- Innovation cryptographique :

L'utilisation d'automates cellulaires pour le hachage représente une approche novatrice, alternative aux schémas classiques comme SHA ou MD5. Plusieurs travaux de recherche ont montré que certains CA peuvent produire des hachages performants et résistants. En outre, la flexibilité des CA permet d'expérimenter des mécanismes inédits (règles dynamiques, voisinages étendus), difficilement atteignables avec les méthodes traditionnelles.

- Couche de protection supplémentaire :

Un hachage CA peut être combiné à SHA-256 afin d'accroître la sécurité globale. Par exemple, on peut pré-hacher les données avec un CA avant de les soumettre à SHA-256, ou inversement. Ce procédé hybride combine la **robustesse cryptographique** des algorithmes standards avec la **non-linéarité** apportée par l'automate.

Sources liées :

Des travaux tels que ceux de *Zimuel (2006)* ont montré que des fonctions de hachage basées sur **Rule 30** présentent de bonnes propriétés cryptographiques. Ces études confirment que le hachage CA, grâce à son parallélisme et sa complexité émergente, constitue une piste prometteuse pour la diversification des mécanismes de sécurité en blockchain.

IX. Faiblesses et vulnérabilités possibles

Malgré leurs avantages, les automates cellulaires appliqués au hachage présentent plusieurs limites importantes à prendre en compte :

- Diffusion insuffisante (faible effet avalanche) :

Les tests effectués (Q5) ont révélé un effet avalanche d'environ **25 %**, indiquant qu'un changement mineur dans l'entrée n'entraîne pas une modification significative du haché. Ce manque de diffusion compromet la résistance cryptographique. Comme le souligne *McKinley (2025)*, de nombreux schémas de hachage basés sur des CA élémentaires souffrent d'un effet avalanche limité.

- Analyse algébrique simpliste :

Certaines règles présentent des structures algébriques facilement exploitables. Par exemple, **Rule 90** repose sur une opération XOR linéaire des voisins (triangle de Pascal mod 2), rendant sa sortie prévisible. Même **Rule 30**, bien que chaotique visuellement, possède une formule simple (p XOR (q OR r)). Historiquement, le générateur pseudo-aléatoire de Wolfram basé sur Rule 30 a d'ailleurs été compromis, montrant que la « chaosité visuelle » ne garantit pas la sécurité cryptographique.

- Risque de collisions :

Les fonctions de hachage CA ne bénéficient pas encore d'analyses formelles aussi poussées que celles de SHA-256. En conséquence, des collisions peuvent exister, notamment si la règle utilisée présente une structure trop linéaire ou répétitive. De plus, l'espace de règles est limité (256 combinaisons), ce qui restreint la complexité brute de l'algorithme face à une attaque ciblée.

- Performances limitées :

Les mesures ont montré que **AC_HASH** est significativement plus lent que **SHA-256**. Dans une blockchain, cette lenteur pourrait réduire la capacité de minage et accroître la latence de vérification des blocs. Un hachage lent est donc peu adapté pour remplacer directement un algorithme standard.

Sources liées :

Les travaux de *McKinley (2025)* et les analyses sur les générateurs CA de *Wolfram* soulignent que, malgré leur comportement chaotique, les CA demeurent vulnérables s'ils ne garantissent pas une diffusion suffisante ni une non-linéarité robuste. Ces observations corroborent nos résultats expérimentaux.

X. Améliorations et variantes proposées

Pour renforcer la robustesse et la pertinence du hachage basé sur les automates cellulaires, plusieurs pistes d'amélioration peuvent être envisagées :

- Combinaison AC + SHA :

Intégrer les deux approches en chaînant un hachage CA et un hachage SHA-256. Par exemple, appliquer *ac_hash* avant ou après SHA-256, ou combiner les bits des deux résultats. Cette stratégie exploite la sécurité éprouvée de SHA tout en ajoutant une couche de confusion supplémentaire issue du CA.

- Règles dynamiques :

Plutôt qu'une règle fixe, faire varier la règle à chaque itération ou en fonction de l'entrée (message, nonce, etc.). Cette variabilité rend le processus moins prévisible et plus difficile à attaquer.

- Voisinage étendu (r > 1) :

Étendre la taille du voisinage au-delà de la portée classique (r=1) ou utiliser des automates bidimensionnels. Ces variantes favorisent une meilleure diffusion des bits et des interactions plus complexes entre cellules.

- Automate inversible :

Construire un automate dont les étapes d'évolution sont inversibles (principe utilisé dans certaines constructions cryptographiques modernes). Cela permettrait d'améliorer la résistance et la contrôlabilité du haché final.

- Multiples tours / roulages :

Appliquer plusieurs itérations successives de l'automate, entrecoupées de mélanges non linéaires (par exemple XOR cyclique). Cela amplifierait la diffusion et la non-linéarité du haché produit.

Ces améliorations visent à **accroître la diffusion**, **réduire la linéarité** et **renforcer la résistance aux attaques** tout en conservant la **simplicité de conception** propre aux automates cellulaires. Elles constituent des pistes prometteuses pour développer un hachage CA réellement compétitif dans un environnement blockchain.

XI. Résumé des résultats expérimentaux

Les principaux résultats obtenus lors des expérimentations sont présentés dans les tableaux suivants.

1. Test de collisions (Q2) — Différences en bits entre deux hachés

Message 1	Message 2	Bits différents (%)
"Hello"	"hello"	**90,6 %**
"Hello"	"Hello!"	**64,1 %**
"" (vide)	" " (espace)	**95,3 %**
"abc"	"abd"	**56,2 %**

Ces résultats montrent que de petites modifications dans le message d'entrée entraînent de grandes différences dans le haché, illustrant l'effet avalanche attendu.

2. Effet avalanche (Q5)

Paires de messages	% de bits différents
'Hello World' / 'Hello World!'	**33,20 %**
'Blockchain' / 'Blockchaim'	**11,72 %**
'abcdefgh' / 'abcdefgi'	**29,69 %**
'123456789' / '123456780'	**27,34 %**
Moyenne	**25,49 %**

L'effet avalanche est partiellement observé, mais reste inférieur à l'idéal théorique de 50 %. Cela suggère que la fonction AC_HASH pourrait être améliorée pour accroître la sensibilité aux variations.

3. Distribution des bits dans 1000 hachages (Q6)

Total bits analysés	Bits = 1	Bits = 0	% de 1	Écart (%)
256 000	127 429	128 571	**49,777 %**	**0,223 %**

La distribution est très équilibrée, ce qui confirme le bon comportement statistique de la fonction AC_HASH.

4. Comparaison des règles d'automates cellulaires (Q7)

Règle	Temps/hash (µs)	% bits = 1	Écart (%)	Commentaire
Rule 30	**10 048 µs**	**50,56 %**	**0,56 %**	Bonne distribution, comportement chaotique équilibré
Rule 90	**≈ 0 µs***	**0,00 %**	**50,00 %**	Mauvais – distribution totalement collapsée (linéaire)
Rule 110	**≈ 0 µs***	**48,25 %**	**1,75 %**	Correcte – proche de 50 %, comportement universel

* Les temps ≈ 0 µs indiquent que la durée était trop faible pour être mesurée précisément dans ce test.

5. Performance comparative de hachage (Q4)

Méthode	Temps moyen par hash
AC_HASH (Rule 30)	**1 390,6 µs**
AC_HASH (Rule 110)	**1 503,5 µs**
SHA-256 (estimation)	**≈ 150 µs**

Les méthodes AC_HASH sont environ 10× plus lentes que SHA-256, mais elles offrent un bon comportement aléatoire et une flexibilité expérimentale pour l'étude des automates cellulaires.